

# Au/Al<sub>2</sub>O<sub>3</sub>の水素化反応におけるAu粒子サイズ効果

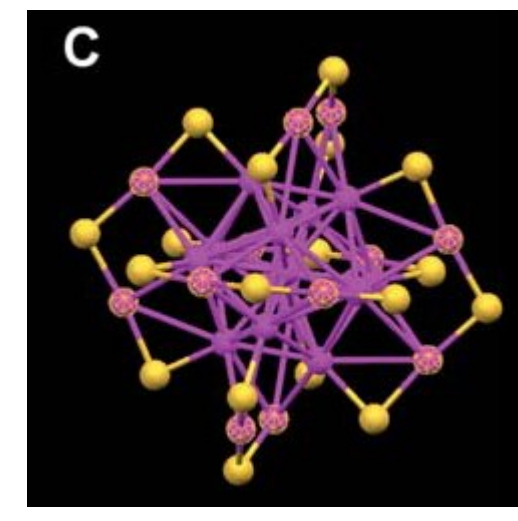
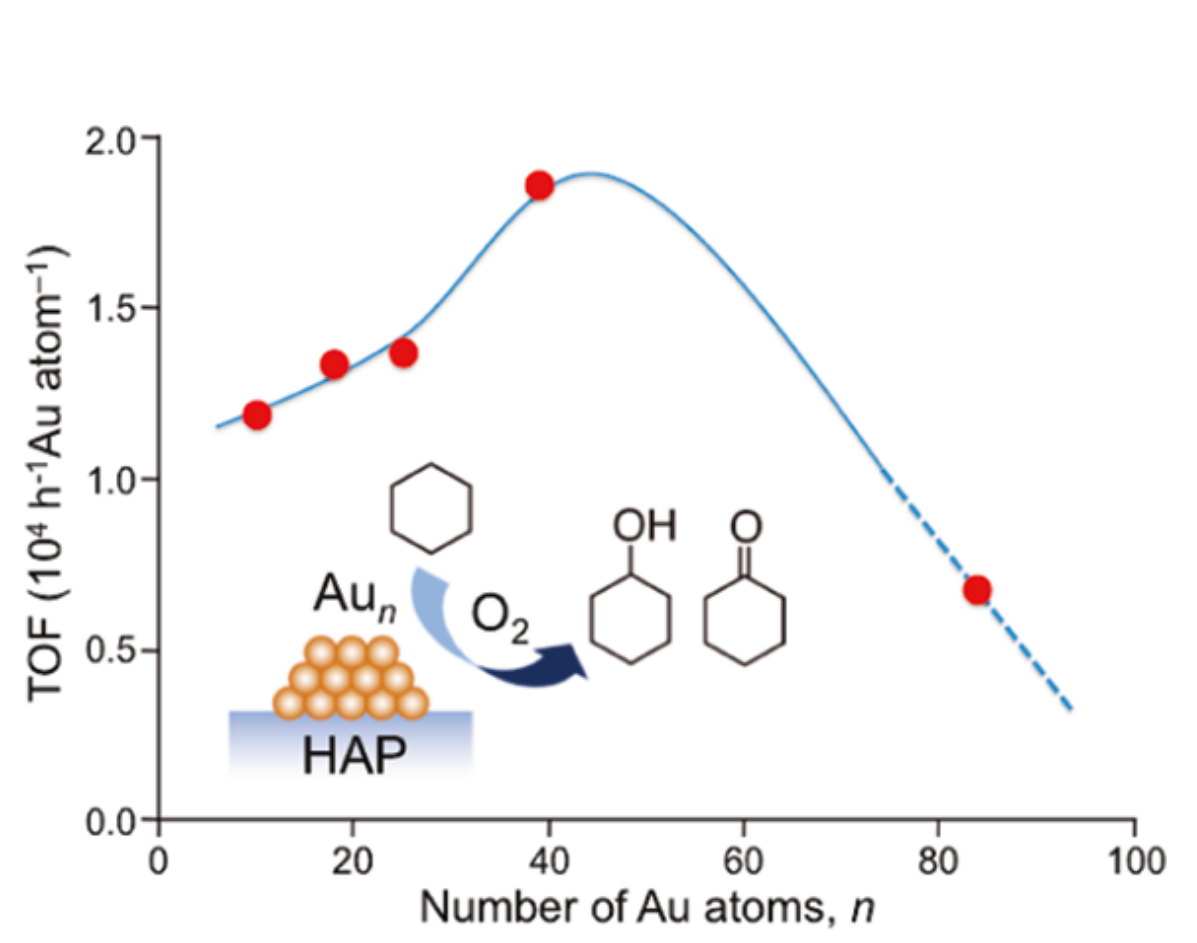
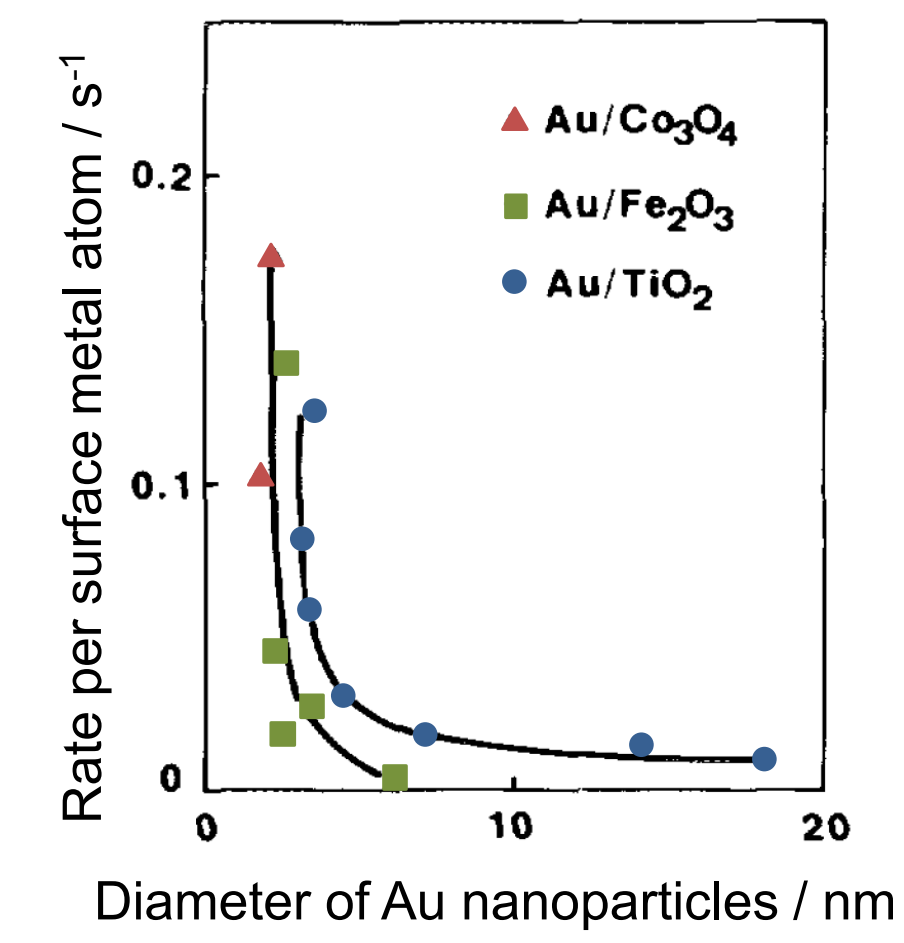
(名古屋大<sup>1</sup>・京都大ESICB<sup>2</sup>) ○大山 順也<sup>1,2</sup>・江崎 彰彦<sup>1</sup>・山本 悠太<sup>1</sup>・荒井 重勇<sup>1</sup>・薩摩 篤<sup>1,2</sup>

## Au粒子サイズ効果

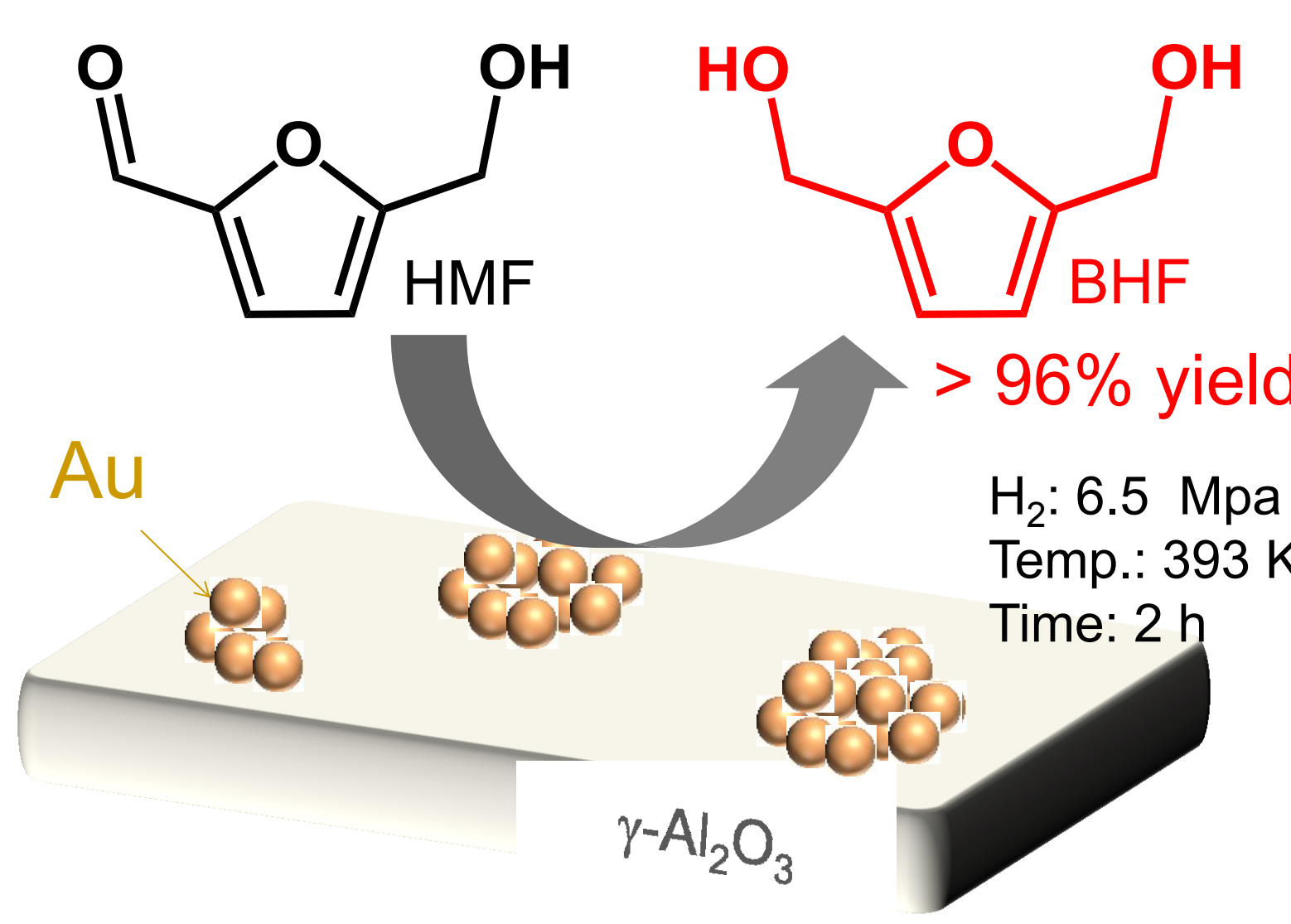
Auナノ粒子触媒

Auクラスターのサイズ特異的触媒作用

これまでの研究: Au/Al<sub>2</sub>O<sub>3</sub>を用いた不飽和アルデヒド化合物HMFの選択的水素化反応



コアのAu<sub>13</sub>クラスターが水素化反応に高活性  
Zhu, Y.; Qian, H.; Jin, R. *J. Mater. Chem.* 2011, 21, 6793-6799



水素化反応活性のAu粒子サイズ依存性

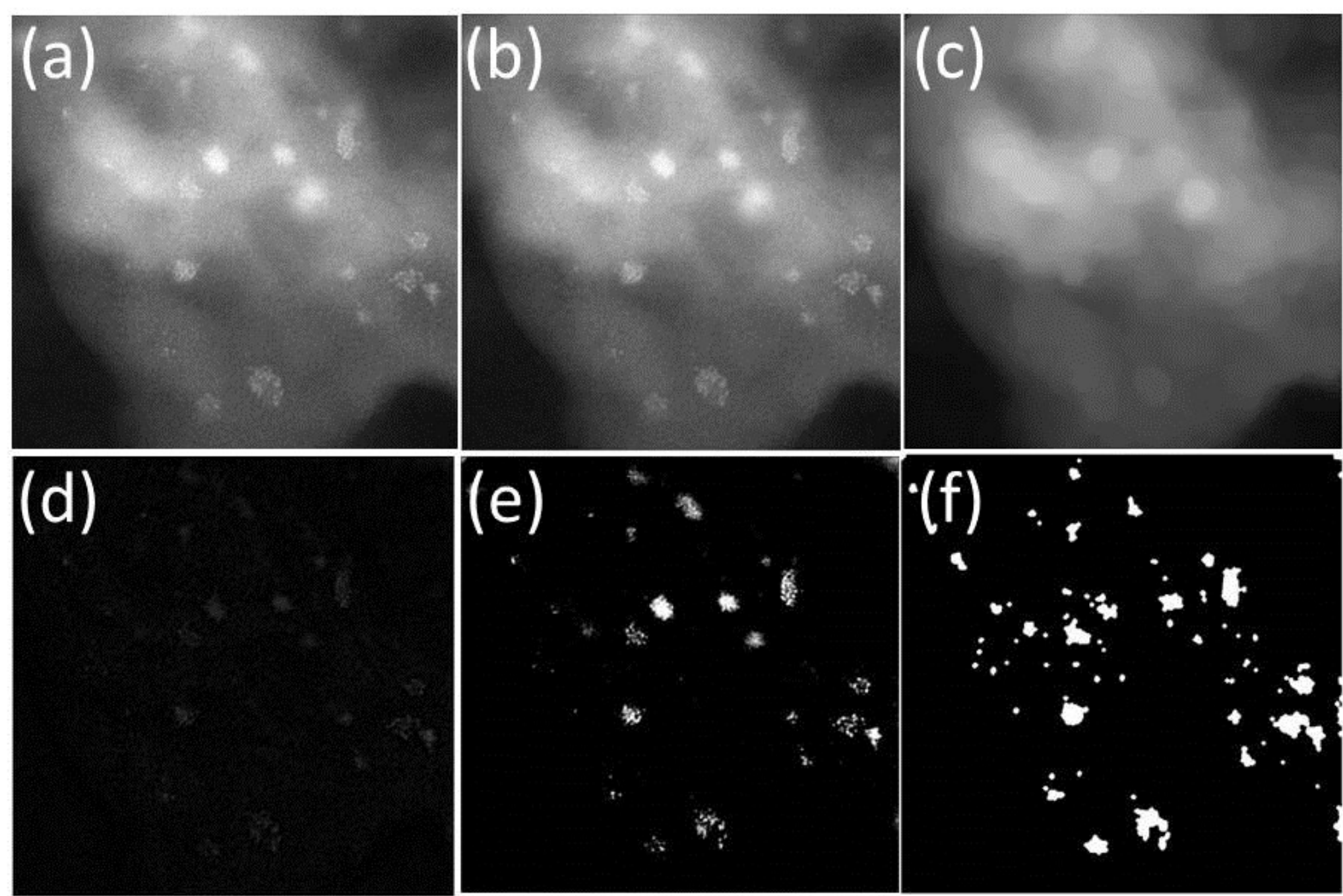
Calcination temp. / K	C.N. (Au-Au)	Reaction rate / mmol h <sup>-1</sup>
473	5.9	0.22
573	6.2	0.21
623	6.5	0.12
673	6.9	0.08
773	8.2	0.02

H<sub>2</sub>: 6.5 MPa, Temp.: 393 K, Time: 15 min

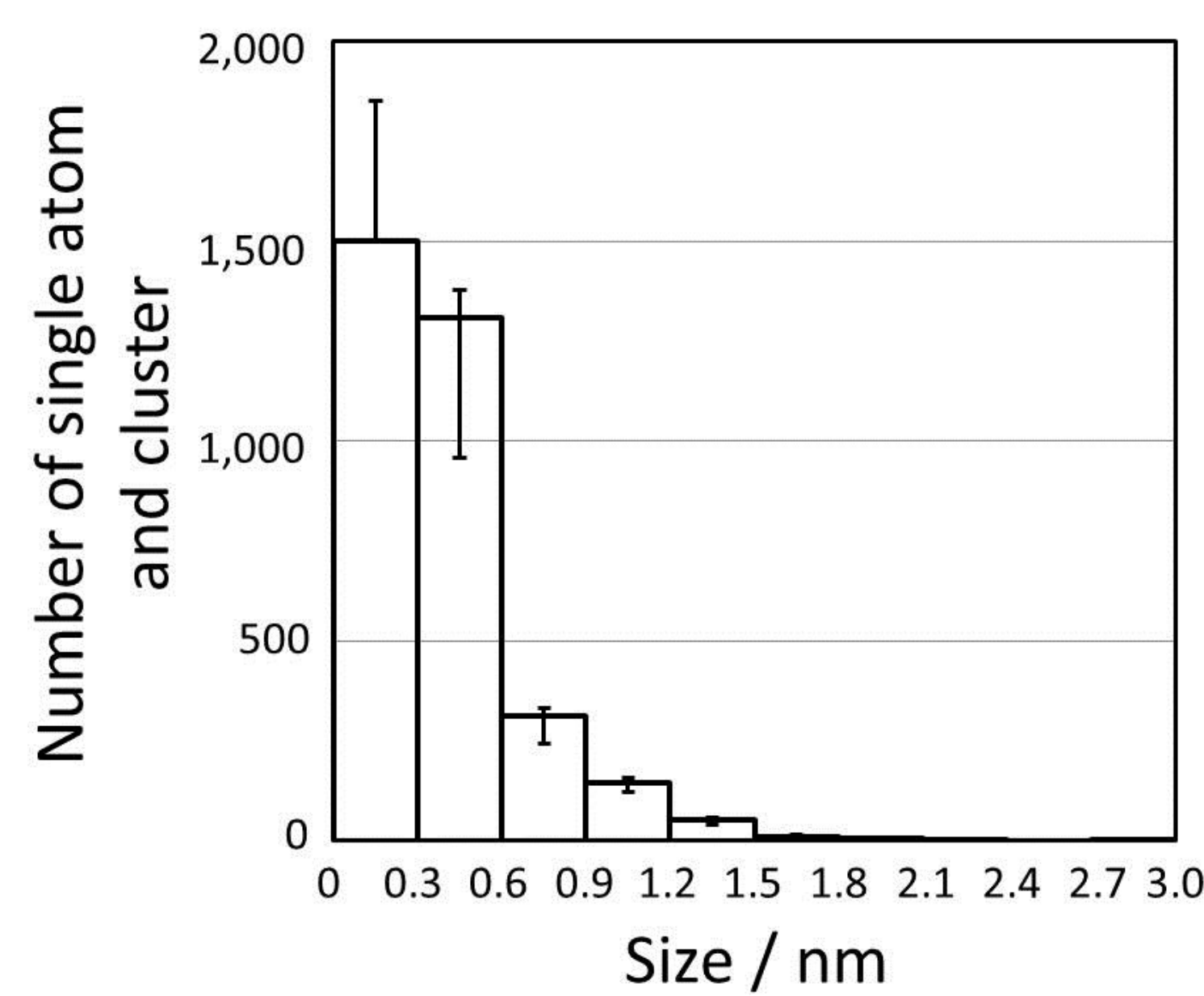
小さなAu粒子ほど選択的水素化反応に高活性

Ohyama, J.; Esaki, A.; Yamamoto, Y.; Arai, S.; Satsuma, A., *RSC Advances*, 2013, 3, 1033-1036.

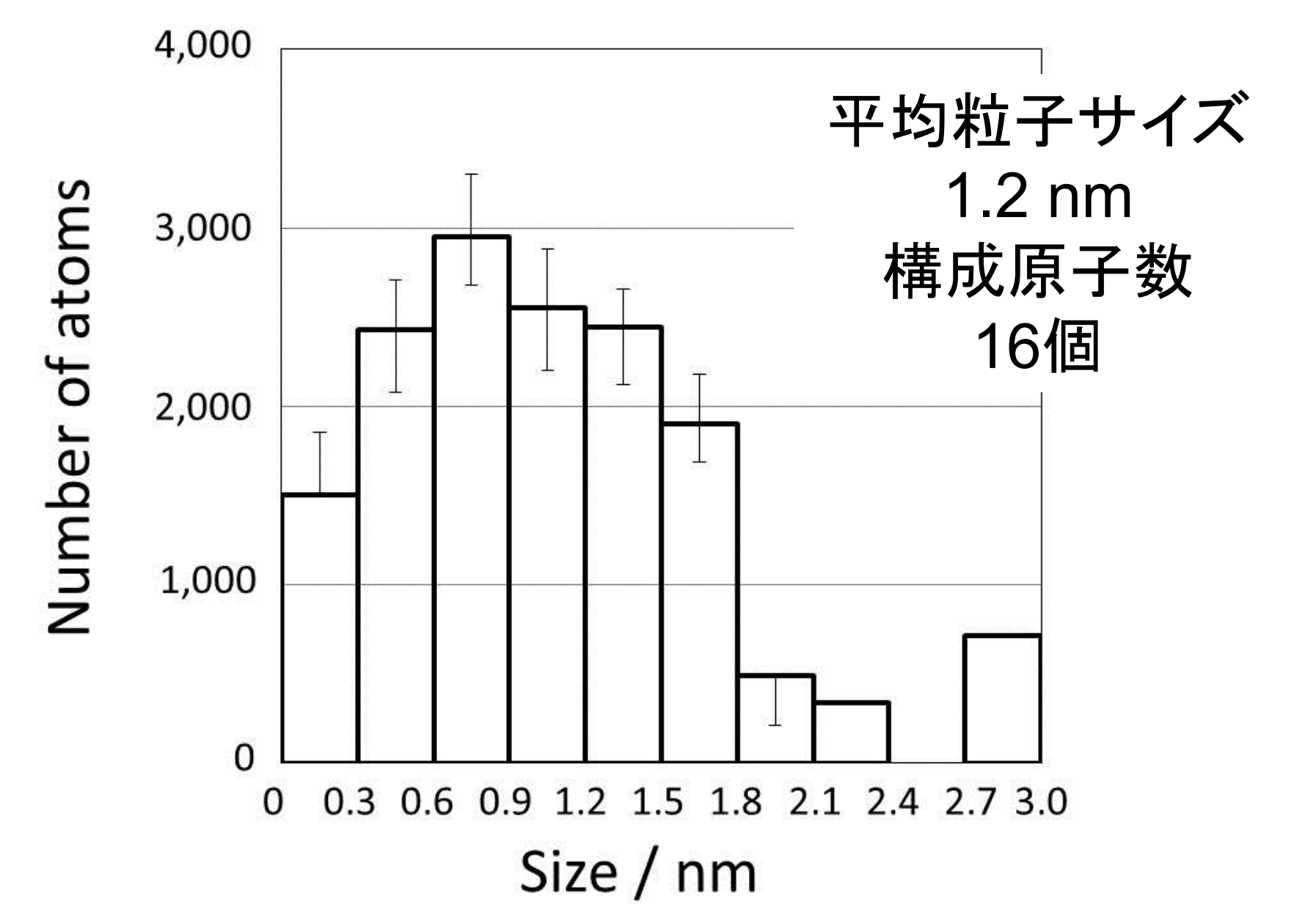
## HAADF-STEM像のモフォロジー演算を用いた画像処理によるAuクラスター・単原子の抽出と粒子サイズ評価



Particle size distribution for the number of Au clusters and individual atoms

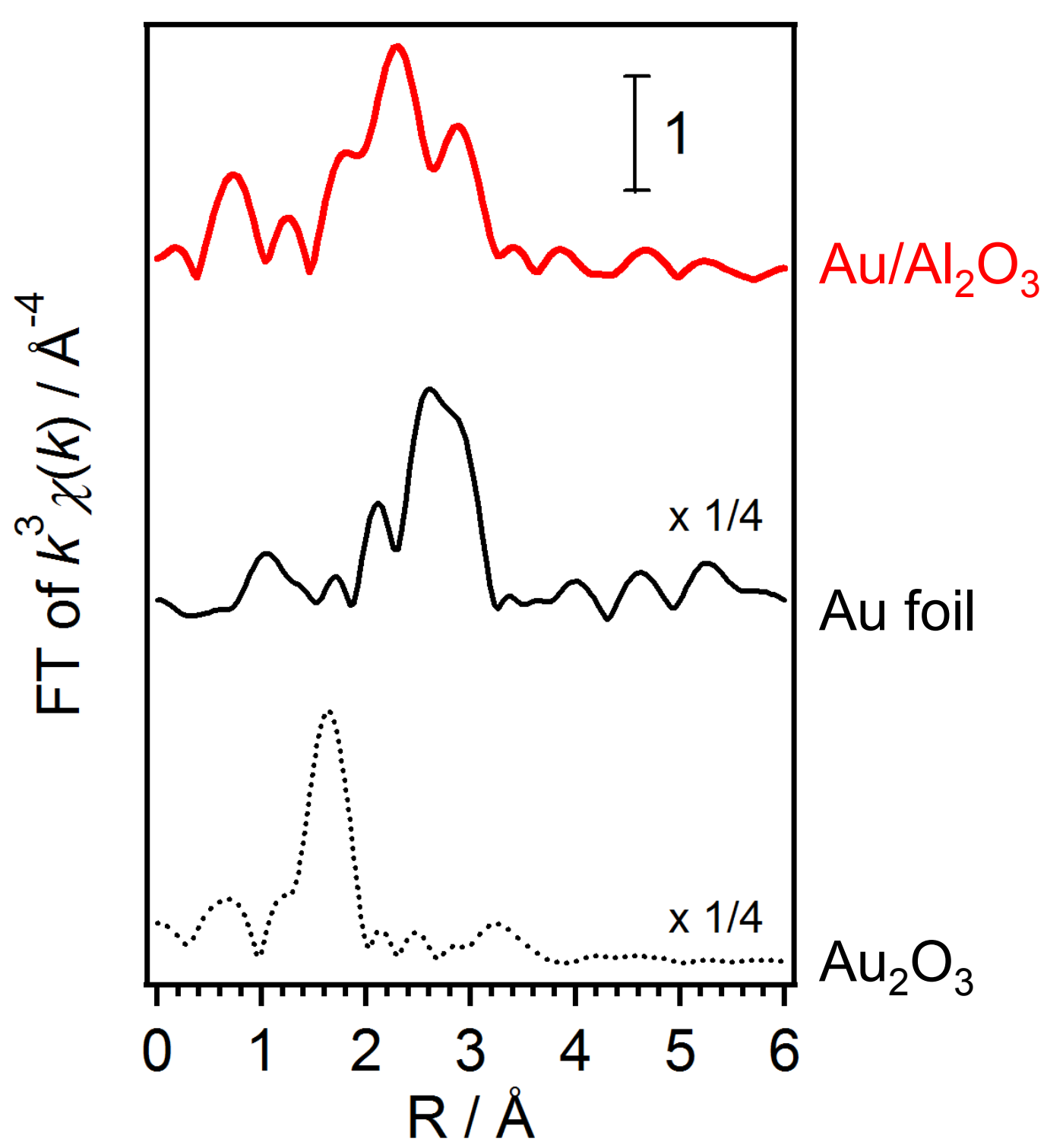


Histogram for the number of atoms



(a) A typical high-resolution Z-contrast image of Au/Al<sub>2</sub>O<sub>3</sub>; (b) The smoothed image by convolution operation; (c) The background image prepared by a morphological opening operation; (d) The image with background subtracted; (e) The high-contrast image prepared by change in gradation with a threshold; (f) The resulting binary image after morphological closing, opening, and dilation operations.

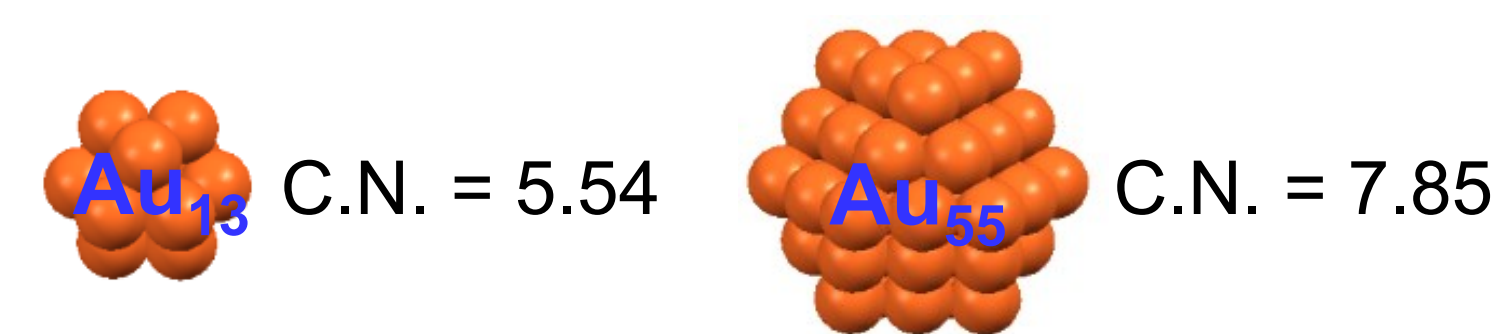
モフォロジー演算を用いた画像処理により、高分解能(原子が見える)HAADF STEM像からAl<sub>2</sub>O<sub>3</sub>上のAuクラスターおよびAu単原子の抽出に成功した。



Structural parameters for Au-Au shell of Au/Al<sub>2</sub>O<sub>3</sub> 200H.<sup>a</sup>

C.N. <sup>b</sup>	r <sup>c</sup> / Å	σ <sup>d</sup> / Å
5.9(6)	2.747(5)	0.116(6)

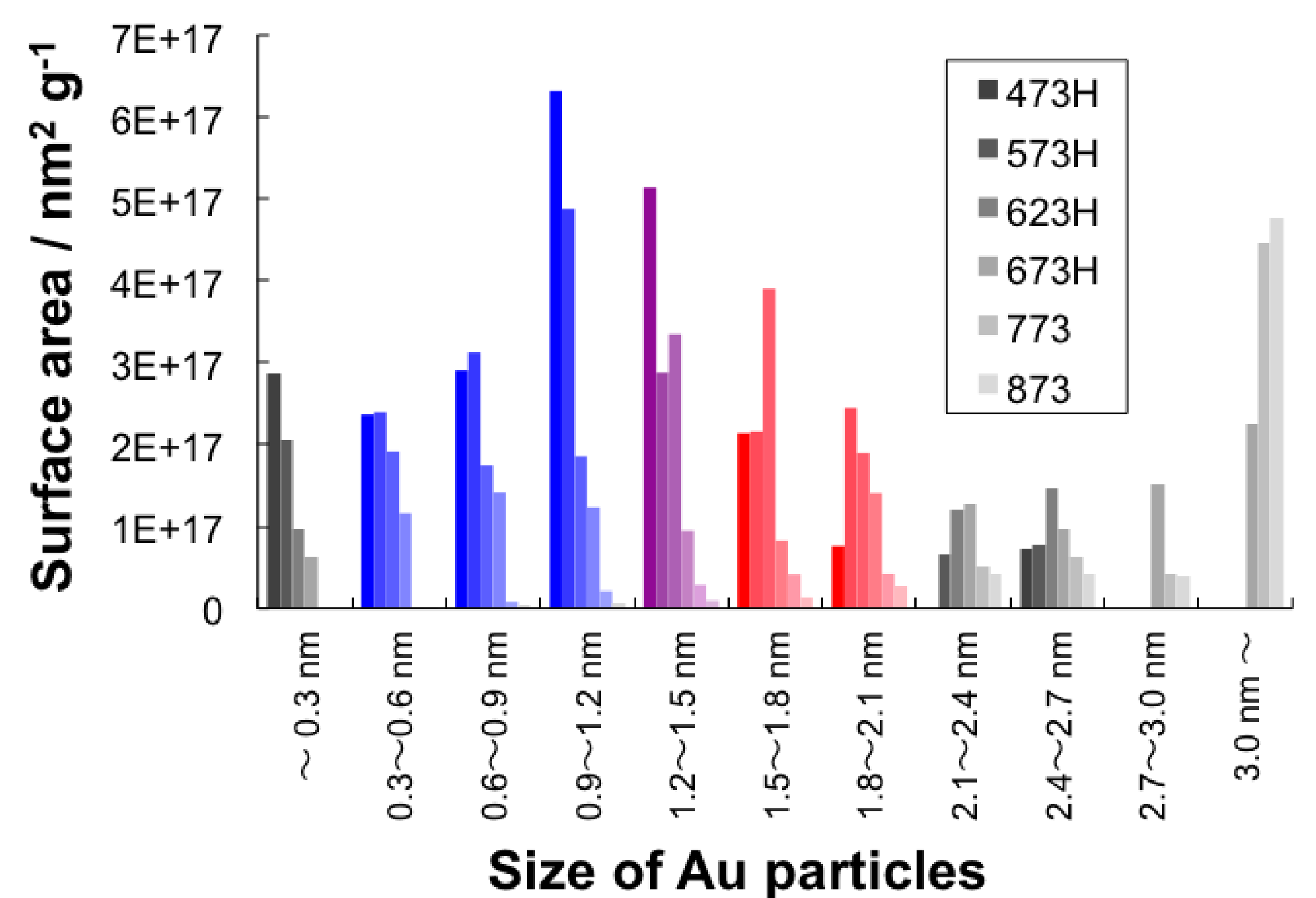
<sup>a</sup> R fitting range: 2.15-3.07 Å; k fitting range: 2.78-13. <sup>b</sup> Coordination number. <sup>c</sup> Bond distance. <sup>d</sup> Debye-Waller factor.



広域HAADF-STEM解析結果はXAFS解析結果とよく一致。サイズ分布には定量性があることを示唆。

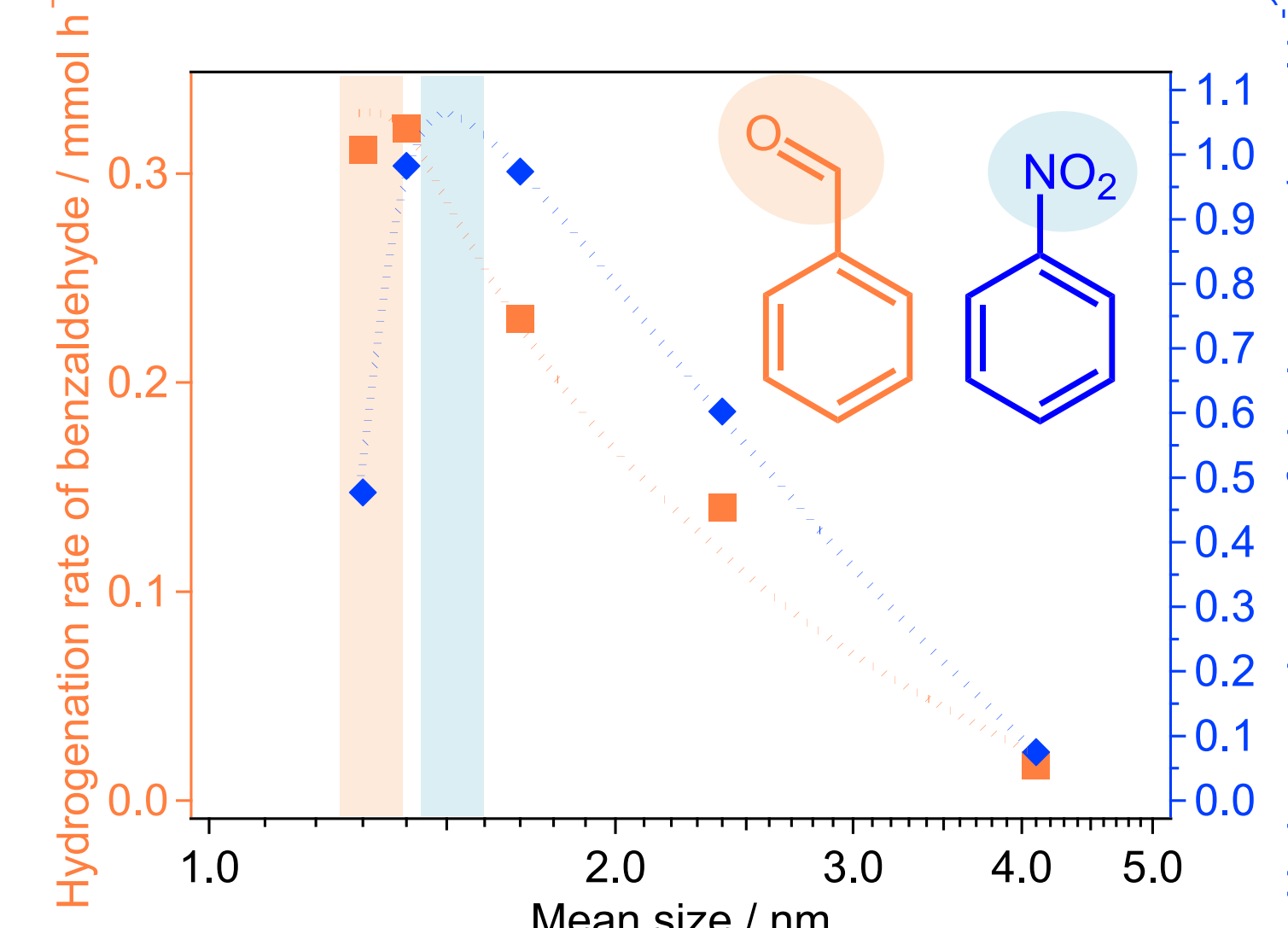
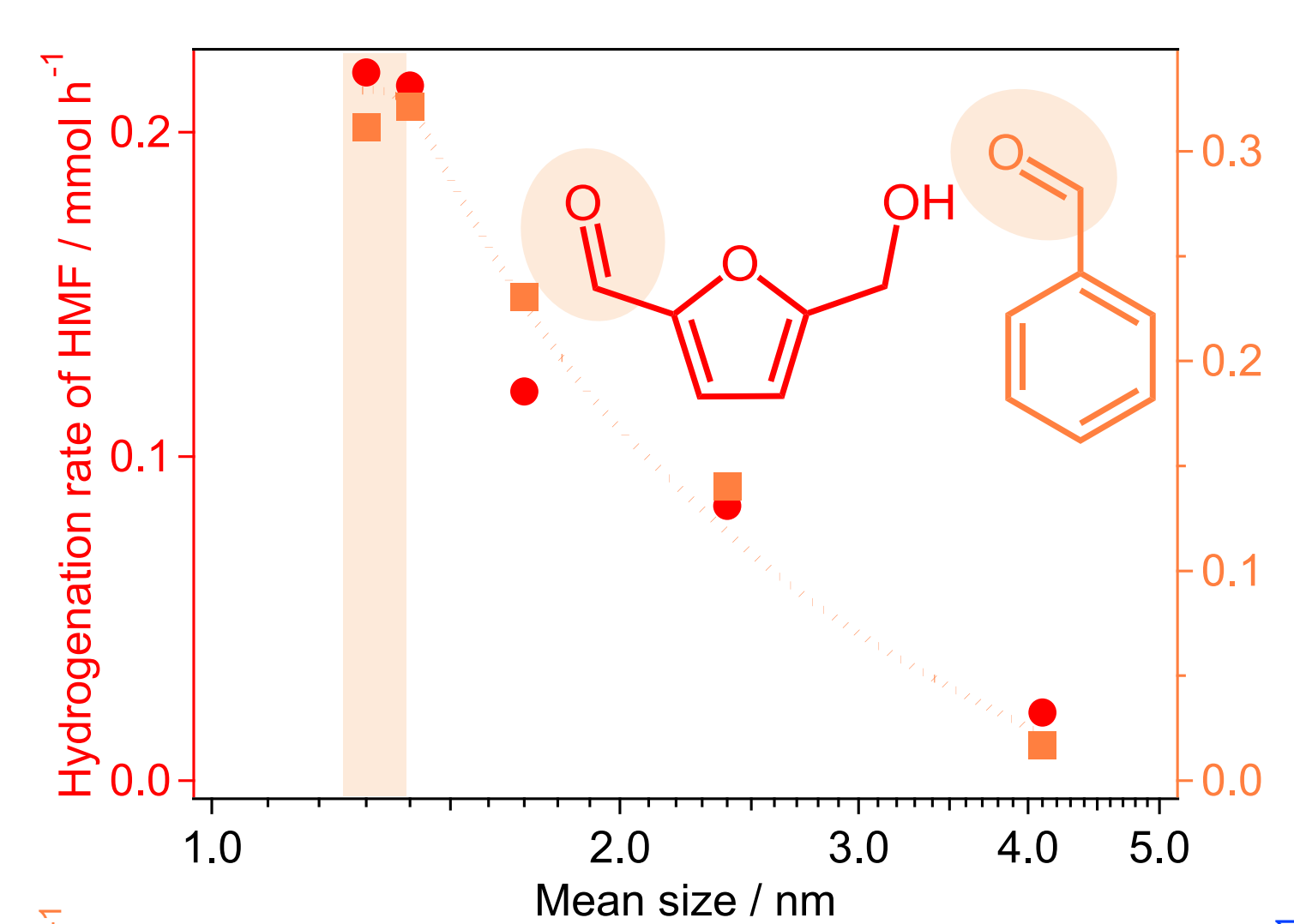
Yamamoto, Y.; Arai, S.; Esaki, A.; Ohyama, J.; Satsuma, A.; Tanaka, N., *Microscopy*, 2014, doi:10.1093/jmicro/dfu001.

さまざまな条件で調製したAu/Al<sub>2</sub>O<sub>3</sub>のサイズ分布

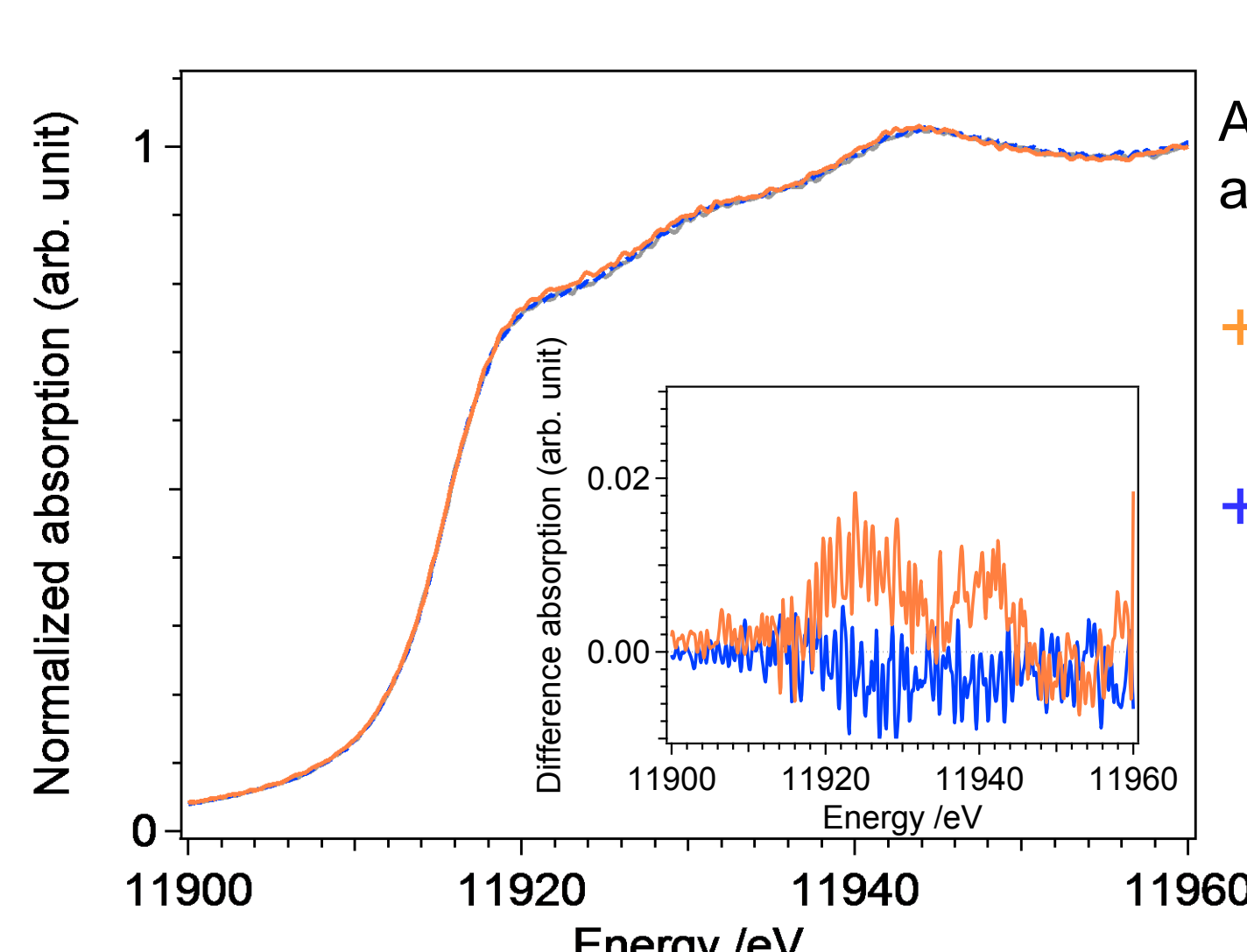
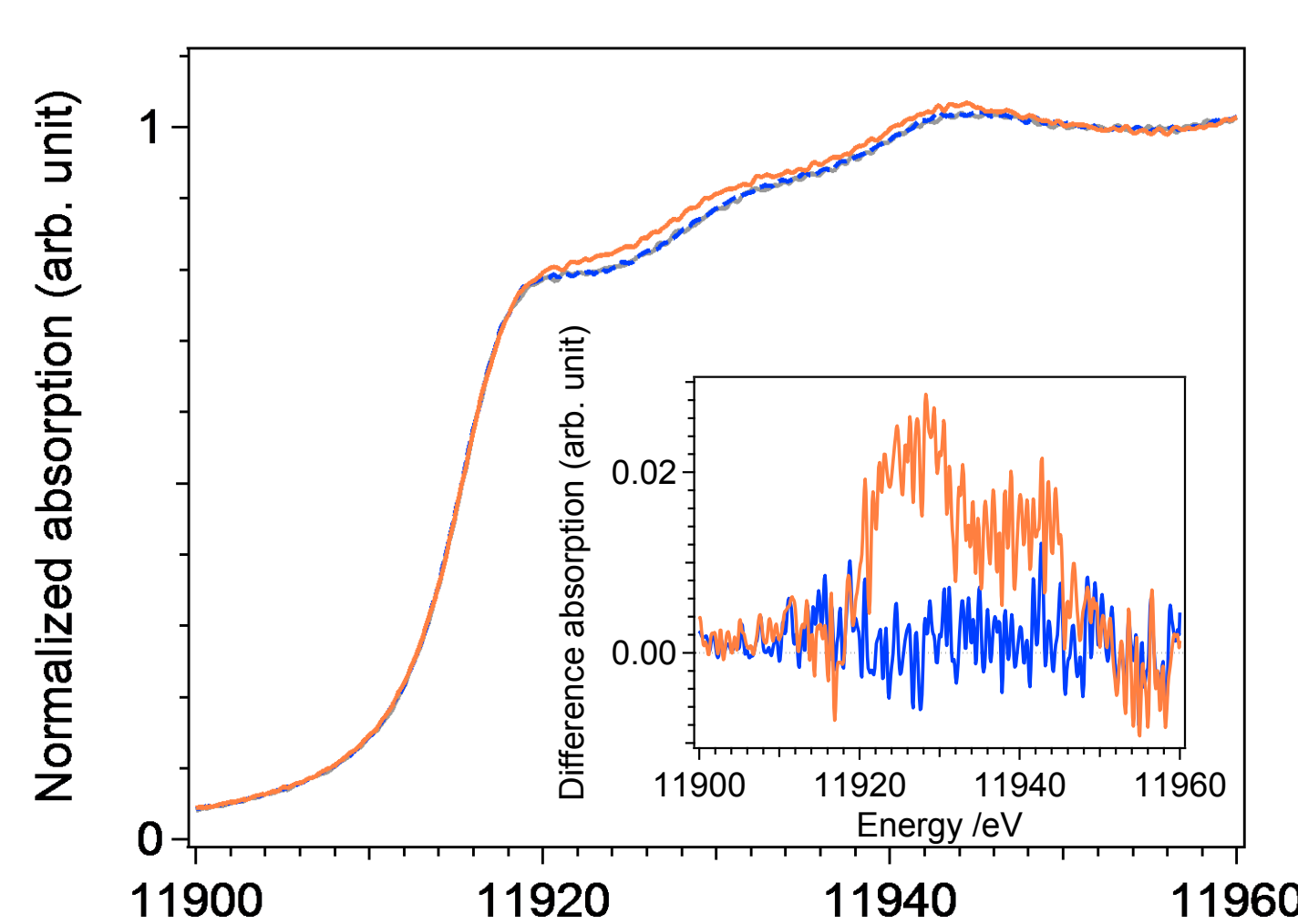


## 反応物(官能基)によって異なる粒子サイズ効果

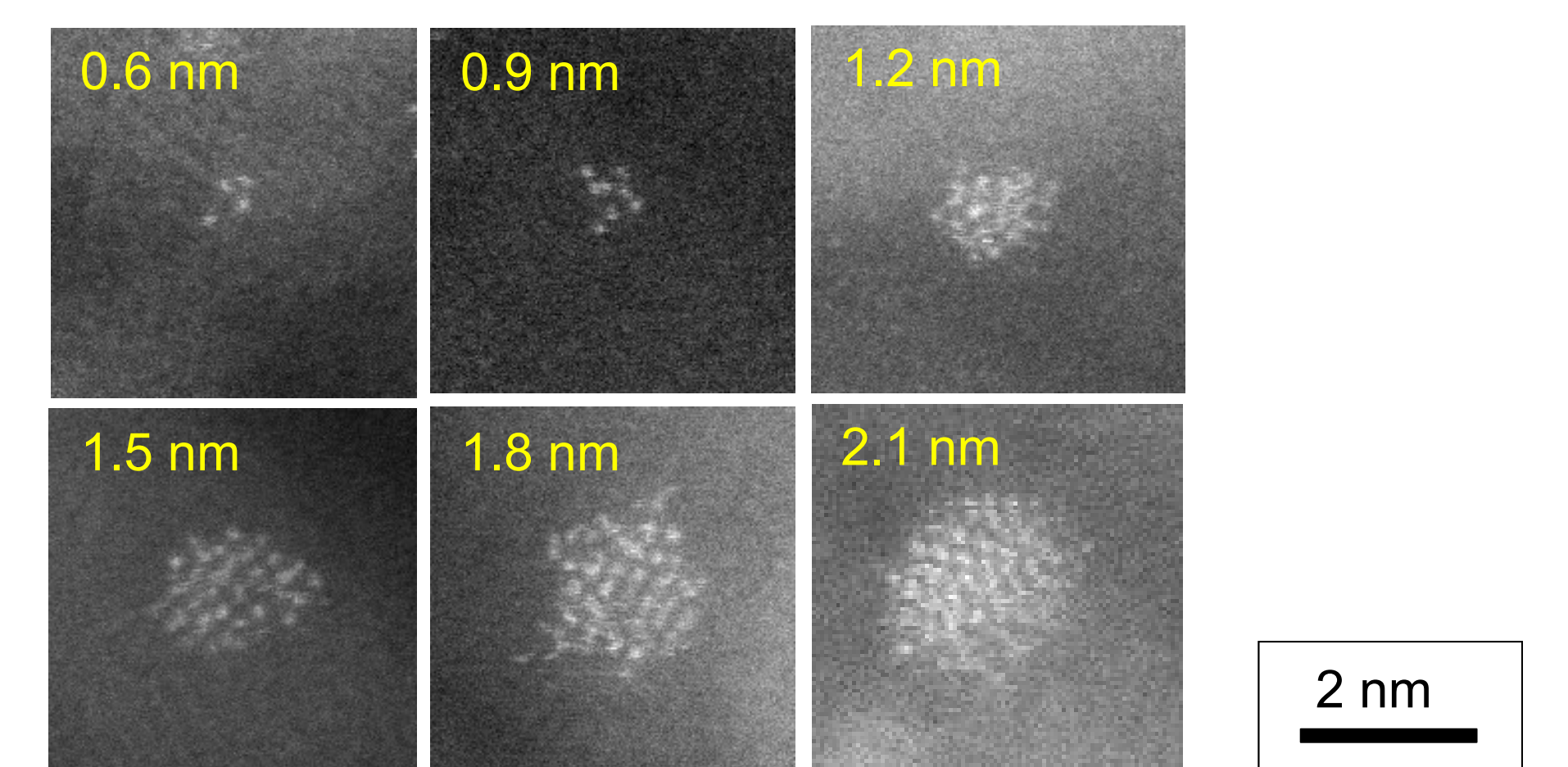
水素化反応速度のサイズ依存性



Au L<sub>3</sub> edge XANES spectra



粒子サイズに伴うAuクラスターの原子配列の規則性の変化



ベンズアルデヒドの水素化 ニトロベンゼンの水素化

